https://doi.org/10.15360/1813-9779-2023-3-46-53



Изучение нейропротективного эффекта ингаляции аргон-кислородной смеси после фотоиндуцированного ишемического инсульта

Е. А. Боева^{1*}, Д. Н. Силачев², Э. И. Якупова², М. А. Милованова¹, Л. А. Варнакова¹, С. Н. Калабушев¹, С. О. Денисов¹, В. В. Антонова¹, И. А. Рыжков¹, К. Н. Лапин¹, А. А. Гребенчикова³

¹ НИИ общей реаниматологии им. В. А. Неговского Федерального научно-клинического центра реаниматологии и реабилитологии Россия, 107031, г. Москва, ул. Петровка, д. 25, стр. 2

² НИИ Физико-химической биологии им. А. Н. Белозерского, Московский государственный университет им. М. В. Ломоносова, Россия, 119992, г. Москва, ул. Ленинские Горы, д. 1 стр. 40

³ Московский государственный медико-стоматологический университет им. А. И. Евдокимова Минздрава России, Россия, 127473, г. Москва, ул. Делегатская, д. 20, стр. 1

Для цитирования: Боева Е. А., Силачев Д. Н., Якупова Э. И., Милованова М. А., Варнакова Л. А., Калабушев С. Н., Денисов С. О., Антонова В. В., Рыжков И. А., Лапин К. Н., Гребенчикова А. А. Изучение нейропротективного эффекта ингаляции аргон-кислородной смеси после фотоиндуцированного ишемического инсульта. Общая реаниматология. 2023; 19 (3): 46–53. https://doi.org/10.15360/1813-9779-2023-3-46-53 [На русск. и англ.]

*Адрес для корреспонденции: Екатерина Александровна Боева, eboeva@fnkcrr.ru

Резюме

Острый ишемический инсульт является серьезной проблемой здравоохранения во всем мире. Поиск оптимального нейропротектора — важная задача. Во многих исследованиях было продемонстрировано, что аргон обладает нейропротективными свойствами при ишемическом повреждении головного мозга. Однако, данные таких исследований противоречивы.

Цель исследования. Оценить влияние 24-часовой ингаляции аргон-кислородной смеси (Ar 70%/O₂ 30%) после фотоиндуцированного ишемического инсульта на выраженность неврологического дефицита и степень повреждения головного мозга у крыс.

Материал и методы. Эксперименты провели на крысах-самцах линии Wistar весом 430–530 г (n=26). Фокальный ишемический инсульт моделировали в сенсомоторной коре головного мозга крыс с помощью фотохимически индуцированного сосудистого тромбоза. Животных случайным образом разделили на 3 группы: ложно-оперированные животные + ингаляция N_2 70%/ O_2 30% (IIO, IIIO); Инсульт + ингаляция IIIO 30% (IIIO) 30% (II

Результаты. Получили статистически значимые по результатам ПКО теста различия между группами ЛО, Инсульт и Инсульт + iAr на 3-е сут (14 (13; 14), 6,5 (4; 8), 5 (3; 8), p=0,027). Однако относительно друг друга группы Инсульт и Инсульт + iAr не отличались.

Заключение. 24-часовая ингаляция аргон-кислородной смеси (Ar $70\%/O_2$ 30%) после инсульта не уменьшает объем повреждения головного мозга и не снижает выраженность неврологического дефицита.

Ключевые слова: аргон; нейропротекция; фотоиндуцированный ишемический инсульт; органопротекция

Конфликт интересов. Авторы заявляют об отсутствии конфликта интересов.

Experimental Study of Neuroprotective Properties of Inhaled Argon-Oxygen Mixture in a Photoinduced Ischemic Stroke Model

Ekatherine A. Boeva^{1*}, Denis N. Silachev², Elmira I. Yakupova², Marina A. Milovanova¹, Lydia A. Varnakova¹, Sergey N. Kalabushev¹, Sergey O. Denisov¹, Victoria V. Antonova¹, Ivan A. Ryzhkov¹, Konstantin N. Lapin¹, Alexandra A. Grebenchikova³

 ¹ V. A. Negovsky Research Institute of General Reanimatology, Federal Research and Clinical Center of Intensive Care Medicine and Rehabilitology, 25 Petrovka Str., Bldg. 2, 107031 Moscow, Russia
 ² A.N. Belozersky Research Institute of Physical and Chemical Biology, M. V. Lomonosov Moscow State University, 1 Leninskie gory, Bldg 40, 119992 Moscow, Russia
 ³ A.I. Evdokimov Moscow State University of medicine and dentistry, Ministry of Health of Russia 20 Delegatskaya Str., Build 1, 127473 Moscow, Russia

Summary

Acute ischemic stroke is a serious problem for healthcare systems worldwide. Searching for the optimal neuroprotector is a contemporary challenge. Various studies have demonstrated neuroprotective properties of argon in ischemic brain damage models. However, the published data are inconsistent.

The aim of the study was to evaluate the effect of 24-hour argon-oxygen mixture (Ar $70\%/O_2 30\%$) inhalation on the severity of neurological deficit and the extent of brain damage in rats after a photoinduced ischemic stroke.

Material and methods. The experiments were carried out on male Wistar rats weighing 430–530 g (N=26). Focal ischemic stroke was modeled in the sensorimotor cortex of the rat brain using photochemically induced vascular thrombosis. The animals were randomly divided into 3 groups: sham procedure + N_2 70%/ O_2 30% inhalation (SP, N=6); stroke + N_2 70%/ O_2 30% inhalation (Stroke, N=10). The limb placement test (LPT) was used for neurological assessment during 14 days. Additionally, on day 14 after the stroke, brain MRI with lesion size morphometry was performed. Summarized for days 3,7 and 14 LPT scores were lower in the Stroke and Stroke + iAr groups as compared to the SP group.

Results. Statistically significant differences in LPT scores between SP, Stroke, and Stroke+iAr groups were revealed on day 3 post-stroke: (scores: 14 (13; 14), 6.5 (4; 8), and 5 (3; 8), respectively, *P*=0.027). However, there was no statistical difference between the Stroke and Stroke+iAr groups.

Conclusion. 24-hour inhalation of argon-oxygen mixture (Ar $70\%/O_2$ 30%) after stroke does not reduce the extent of brain damage or the severity of neurological deficit.

Keywords: argon; neuroprotection; photochemically induced ischemic stroke; organoprotection

Conflict of interest. The authors declare no conflict of interest.

Read the full-text English version at www.reanimatology.com

Введение

Инсульт является второй по частоте причиной смертности и инвалидизации во всем мире. При этом отмечается рост частоты встречаемости инсульта в связи с распространением сахарного диабета и ожирения [1, 2]. Патофизиология ишемического повреждения головного мозга включает в себя активацию различных сигнальных каскадов. Недостаток кислорода приводит к прекращению работы энергозависимых ионных насосов и каналов, что приводит к высвобождению нейротрансмиттеров и последующей гибели нейронов. Имеются данные о том, что постишемическое воспаление является главной причиной вторичного повреждения головного мозга, от которого зависит тяжесть исхода инсульта [3]. Поэтому поиск клинически эффективных нейропротективных средств является актуальной задачей. Большое количество терапевтических агентов в настоящее время оцениваются в доклинических исследованиях на модели ишемического повреждения [3, 4].

Достаточно перспективным направлением в поиске нейропротекторов является проведение исследования с применением инертных (благородных) газов. Ксенон уже одобрен для клинического применения в качестве общего анестетика и подтвердил свои нейропротекторные свойства в многочисленных исследованиях *in vitro* и *in vivo* [5–13]. Другим перспективным нейропротектором может быть аргон. За несколько десятилетий были получены данные о кардио-, нейро-, нефропротективных свойствах аргона при различных патологических состояниях в экспериментальных моделях *in vivo* и *in vitro* [14–20].

При анализе литературных источников были выявлены противоречивые данные о нейропротективных свойствах аргона на различных моделях [21–35].

В ходе исследования L. Grüßer (2017) на модели черепно-мозговой травмы получил цитопротективный эффект после ингаляции аргона в течение 2 ч [36]. В 2021 г. было опубликовано 2 работы по оценке нейропротективных свойств аргона на модели закрытой черепно-мозговой травмы. Ингаляция аргона в данном исследовании осуществлялась в течение 24 ч [8, 37]. При этом в одном исследовании [8] были выявлены статистически значимые положительные результаты оценки неврологического статуса, а в исследовании J. Creed (2021), напротив, не были получены положительные эффекты [37]. Несмотря на нейропротективное действие при преимущественно ишемическом повреждении, аргон не обеспечивал защиты после черепно-мозговой травмы, что подчеркивает важность выбора модели исследования и времени экспозиции ингаляции аргона. В исследованиях на моделях ишемического повреждения вследствие кислородно-глюкозной депривации были получены положительные результаты после ингаляции аргона с разным временем экспозиции. По данным гистологического исследования отмечалось восстановление неврологического статуса, а также уменьшение объема повреждения головного мозга по данным гистологического исследования [17-25, 27-49]. При этом большинство исследований было проведено in vitro. S. Ma и соавт. (2019) впервые провели исследование іп vivo на модели ишемического повреждения вследствие окклюзии средней мозговой артерии с реперфузией и без таковой [47]. В ходе исследования были подтверждены нейропротективные свойства аргона, однако, выявлено несоответствие между улучшенным неврологическим исходом и общим размером поражения [47]. Учитывая неоднозначные результаты исследований на различных моделях ишемического повреждения, фотохимически индуцированный тромбоз представляется одной из наиболее перспективных экспериментальных моделей инсульта. В отличие от других методов индукции тромбоза, фотохимически индуцированный тромбоз может быть использован у мелких животных, так как данная модель характеризуется стойким сенсомоторным дефицитом и низкой летальностью животных в послеоперационном периоде [41].

Таким образом, учитывая литературные данные, аргон является перспективным средством защиты мозга от ишемии. Однако, отсутствие систематического результата указывает на необходимость всестороннего исследования данного газа в качестве нейропротектора.

Цель исследования — оценить влияние 24-часовой ингаляции аргон-кислородной смеси после фотоиндуцированного ишемического инсульта на выраженность неврологического дефицита и степень повреждения головного мозга у крыс.

Материал и методы

Экспериментальные животные. Эксперименты провели на крысах-самцах линии Wistar массой 430-530 г (n=26). За 8 ч до эксперимента животные не получали корм, но имели свободный доступ к воде. Протокол исследования был утвержден Локальным этическим комитетом ФНКЦ PP N 3/22/3 от 14 декабря 2022 г. Эксперименты проводили в соответствии с требованиями Директивы 2010/63/EU Европейского парламента и Совета Европейского союза по защите животных, используемых в научных целях.

Животных случайным образом разделили на 3 группы в зависимости от объема проводимых вмешательств:

- ложно-оперированные животные, которым проводили анестезию, подготовительные мероприятия без инсульта + ингаляция N_2 70%/ O_2 30% (группа ЛО), n=6;
- контрольная группа с инсультом + ингаляция N_2 70%/ O_2 30% или (группа Инсульт), n=10;
- опытная группа с инсультом + ингаляция Ar 70%/ ${\rm O}_2$ 30% (группа Инсульт + iAr), n=10.

Моделирование фотоиндуцированного ишемического инсульта. В условиях общей анестезии севофлураном 7,0–8,0 мл (2–4 об%) с помощью системы для низкопоточной анестезии мелких лабораторных животных SomnoSuite (Kent Scientific Corporation, USA) с потоком кислорода 1 л/мин с помощью фотохимически индуцированного тромбоза сосудов коры головного мозга моделировали ишемический инсульт в соответствии с методикой [45]. Светочувствительный краситель гоѕе Bengal (3%, 40 мг/кг внутривенно; Sigma-Aldrich, St. Луис, Миссури, США) вводили в яремную вену. После этого голову крысы

фиксировали в стереотаксической рамке (стереотаксические координаты Bregma: 0,5 мм дистально и 2,5 мм латерально), и обнажали череп через разрез по средней линии, очищенный от надкостницы. Далее, полушарие мозга в области сенсомоторной коры облучали зеленым светом при λ=550 нм в течение 15 минут. После наложения на кожу швов крыс помещали в клетку под инфракрасную нагревательную лампу до их выхода из наркоза. Температуру тела во время всего эксперимента поддерживали на уровне 37±0,5°C. Термометрию выполняли путем установки ректального датчика температуры тела, а терморегуляцию — в автоматическом режиме за счет соединения модуля обогрева с термореле и установкой пограничных значений. Ложнооперированным животным выполняли оперативное вмешательство в объеме паратрахеального разреза с выделением внутренней яремной вены и обнажения черепа через разрез по средней линии [44].

Воздействие аргоном. Через 15 мин после моделирования инсульта животное помещали в прозрачную пластиковую камеру объемом 15 л, в которую постоянно подавали свежую газовую смесь (N_2 70%/ O_2 30% — группы ЛО и Инсульт; Ar 70%/ O_2 30% — группа Инсульт + iAr) с потоком 0,5 л/мин на одно животное. Одномоментно в камере находились не более 5 животных одной группы, что позволяло избежать гипоксии и гиперкапнии.

Время экспозиции в камере составило 24 ч. Во время всего эксперимента осуществляли непрерывный контроль содержания O_2 и CO_2 в камере с животными с использованием блока контроля атмосферы закрытых помещений (ЗАО «ИНСОВТ» СПБ, Россия). После окончания периода экспозиции проводили оценку общего состояния животного (уровень бодрствования, подвижность) и обезболивание (парацетамол 50 мг/кг п/к). Затем животное перемещали в клетку с предоставлением свободного доступа к воде и пище.

Оценка неврологического статуса. Оценку неврологического статуса животных проводили за сутки до эксперимента (Д0), на 3-й день (Д3), 7-й день (Д7), 14-й день (Д14) после инсульта.

Использовали протокол, основанный на методике, описанной Де Риком и соавт. (1989) [43] и модифицированный Ю. Ёолкконеном и соавт. (2000) [43]. Крыс приучали к рукам в течение недели до тестирования. Тест состоял из семи испытаний, оценивающих сенсомоторную интеграцию передних и задних конечностей в ответ на тактильную, проприоцептивную и зрительную стимуляцию. Каждый тест оценивали следующим образом: крыса выполняла испытание нормально — 2 балла; крыса выполняла испытание с промедлением (>2 с) и/или не полностью — 1 балл; крыса не выполнила испытание — 0 баллов. Баллы суммировали, результаты представили в виде суммы баллов за тест.

На 14-е сут после инсульта проводили MPT-исследование животных на томографе с индукцией магнитного поля 7 Тл и градиентной системой 105 мТл/м (BioSpec 70/30, Bruker, Германия). Анестезию осуществляли изофлураном (1,5–2%), после чего крысу помещали в устройство позиционирования с системой стереотаксиса и терморегуляции как описано ранее [44].

Использовали стандартный протокол исследования мозга крысы, который включает в себя получение Т2-взвешенных изображений. Для передачи радиочастотного (РЧ) сигнала использовали линейный трансмиттер с внутренним диаметром 72 мм, для детекции РЧ-сигнала — поверхностную приемную катушку для мозга крысы. Использовали следующие импульсные последовательности (ИП): RARE — ИП на основе спинового эха с параметрами: TR=6000 мс, ТЕ=63,9 мс, толщина среза 0,8 мм с шагом 0,8 мм, размер матрицы 256×384, разрешение 0,164×0,164 мм/пиксел. Общее время сканирования одного животного составляло около 25 мин. Степень повреждения головного мозга оценивали с помощью графического анализа МРТ изображений с подсчетом объема поврежденного участка головного мозга. Для этого на серии МРТ-изображений выделяли слайд с наибольшей площадью поражения головного мозга. С помощью программы ImageJ (National Institutes of Health image software, Bethesda, MD, США) рассчитывали площадь повреждения в мм². Далее аналогичным образом рассчитывали площадь повреждения головного мозга еще на четырех слайдах (два — краниальнее и два — каудальнее). Объем повреждения головного мозга рассчитывали по формуле:

$$V = \sum Sn \times d$$
,

где **d** — толщина одного среза (0,8 мм), Σ Sn — сумма площадей повреждения на пяти слайдах (мм²) [44]. Летальность в группах животных оценивали через 24 ч, на 7-е и 14-е сут после инсульта.

Статистическую обработку данных проводили с использованием программ STATISTICA 7.0 (StatSoft Inc., США) и GraphPad Prizm. Нормальность распределения признака в выборках оценивали с использованием критерия Шапиро—Уилка. Все данные представили как медиану (интерквартильный интервал). Статистические различия в данных, имеющих хотя бы в одной из групп распределение, отличное от нормального, анализировали с использованием *U*-теста Манна—Уитни с применением поправки Бонферрони для сопоставления трех и более групп, а также критерий Краскела—Уоллиса или *U*-теста Манна—Уитни для анализа не более 2-х групп. Критерием статистической значимости был уровень p<0,05.

Результаты

На протяжении 14 дней из эксперимента животных не выводили, не было достижения гуманной конечной точки. Летальных исходов не было.

Неврологическая оценка. Тест постановки конечностей на опору (ПКО). В каждой из вре-

менных точек (Д3, Д7 и Д14) сумма баллов за ПКО у животных обеих экспериментальных групп была меньше, чем в группе ЛО. Получили статистически значимые различия между группой ЛО и группами Инсульт и Инсульт + iAr на 3-е сут (14 (13; 14), 6,5 (4; 8), 5 (3; 8), p=0,027). При этом друг от друга группы Инсульт и Инсульт + iAr не отличались (3-и сут — p=0,57, 7-е сут — p=0,70, 14-е сут — p=0,71) (рис. 1).

В динамике в группе ЛО животных значения данного показателя не менялось с ДЗ по

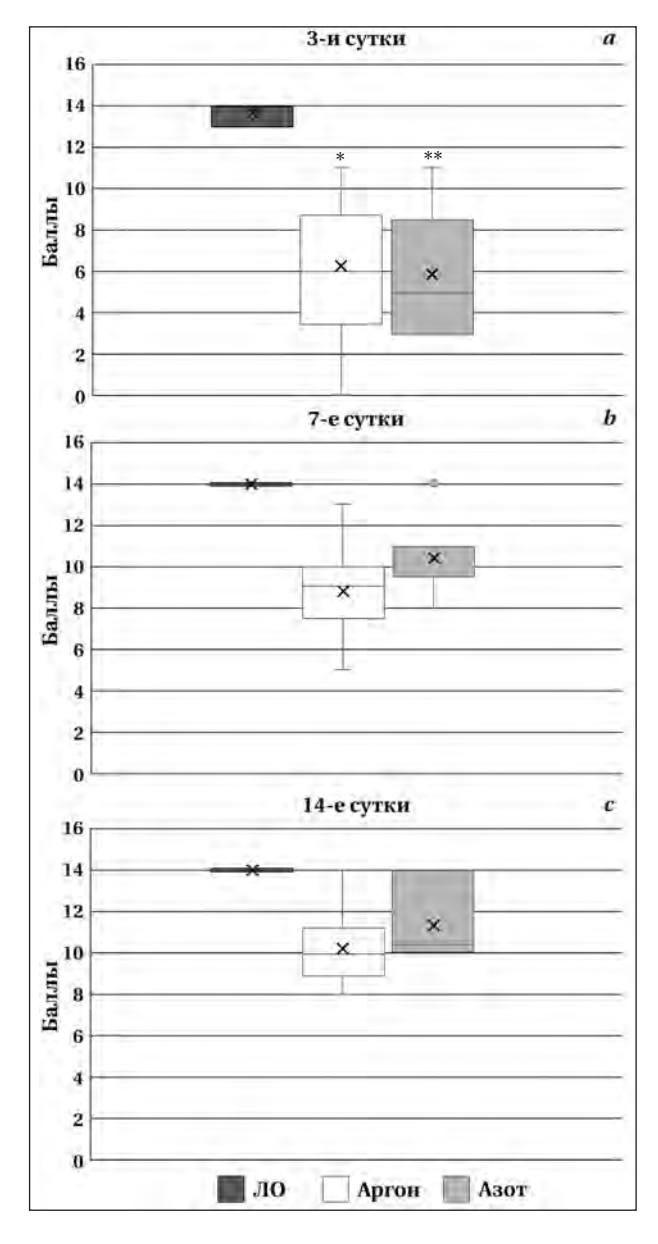


Рис. 1. Тест ПКО.

Примечание. a— результаты на 3-и сут после моделирования инсульта; p=0,027 между группами ЛО и Инсульт*, ЛО и Инсульт + iAr**. b — результаты через 7 дней после моделирования инсульта. c — результаты через 14 дней после моделирования инсульта. Данные представили в виде медиан и квартилей [25%; 75%]. Применяли U-тест Манна–Уитни с применением поправки Бонферрони, критерий Краскела–Уоллиса для сопоставления трех и более групп.

Д14 (рис. 2, a). Динамика баллов ПКО в группах Инсульт и Инсульт + iAr была практически одинаковой: наименьшие значения были в точке Д1 (Инсульт — 5,9 (3; 8) и Инсульт + iAr — 6,3 (7; 9,5), p=0,73). Затем в точке Д7 отмечали увеличение этого показателя в обеих группах (Инсульт — 10,4 (10; 10,8) и Инсульт + iAr — 8,8 (8; 10), p=0,59). В точке Д14 суммарный балл ПКО в группах Инсульт (11,4 (10; 14)) (рис. 2, b) и Инсульт + iAr (10,3 (9; 11) (рис. 2, c) был выше не только в сравнении с Д1 (Инсульт p=0,56, Инсульт + iAr p=0,63), но и в сравнении с Д7 (Инсульт

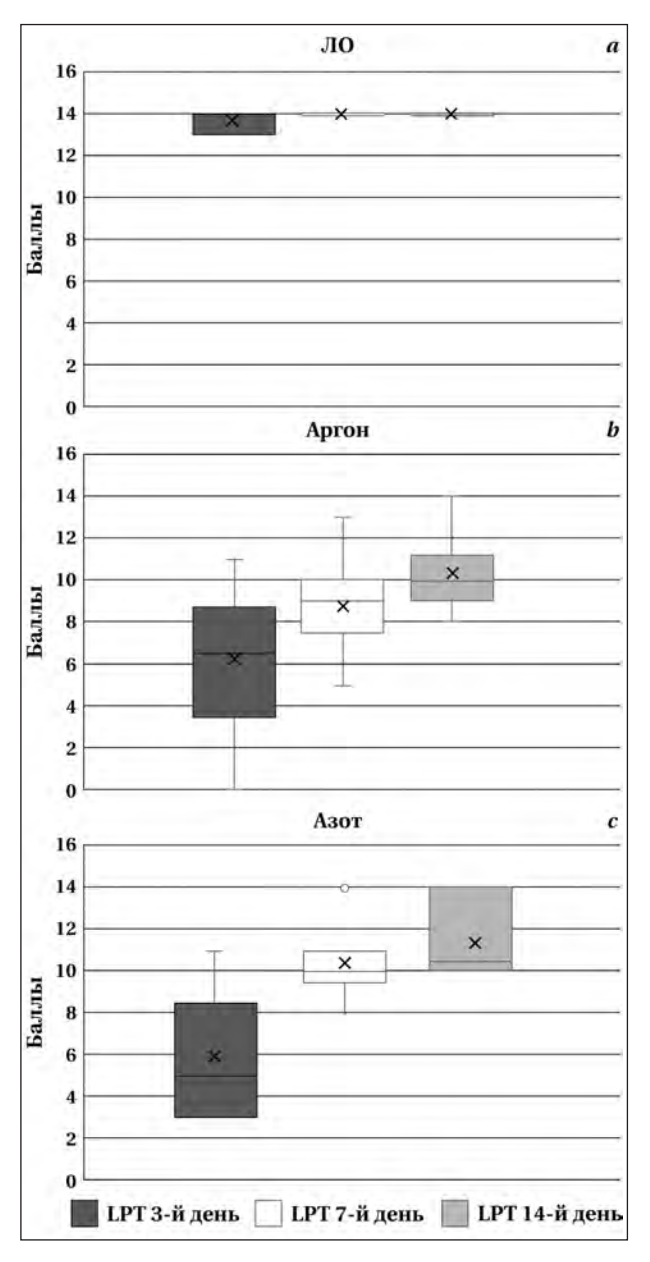


Рис. 2. Тест ПКО.

Примечание. Динамика изменения результатов ПКО: a — в группе ЛО; b — в группе инсульта+іAг; c — в группе инсульт. Данные представили в виде медиан и квартилей. Применяли U-тест Манна–Уитни с применением поправки Бонферрони, критерий Краскела–Уоллиса для сопоставления трех и более групп.

p=0,68, Инсульт + iAr p=0,61. Однако, различия статистически не значимы.

МРТ исследование головного мозга. Средний объем повреждения в группе инсульт + iAr и группе инсульт составил 9,68 (7,42; 12,2) мм³ и 9,34 (8,74; 12,90) мм³, соответственно. Статистически значимых различий между группами не выявили (p=0,500) (рис. 3, 4).

Обсуждение

Данное исследование разработали для оценки нейропротективного действия аргона на значимые параметры исхода после ишемического инсульта. Согласно литературным данным, наиболее выраженный нейропротективный эффект этого газа выявлялся на моделях ишемического повреждения нейронов *in vitro*. Так, на модели черепно-мозговой травмы *in vitro* [49] было показано, что применение аргона 50% по сравнению с десфлураном 6% демонстрировало выраженный нейропротективный профиль. В то же время, небольшое количество доклинических исследований протективного действия аргона *in vivo* показало противоречивые результаты.

Выполненное исследование нейропротективного эффекта 24-часовой ингаляции аргона с первых часов фотоиндуцированного ишемического инсульта у крыс не показало ее значимого влияния на уровень неврологического дефицита в течение 2-х недель постишемического периода, а также объем повреждения по данным МРТ на 14-е сут.

Отрицательный результат исследования может быть обусловлен несколькими факторами.

Во-первых, аргон в отличие от ксенона действительно может не обладать клинически значимыми нейропротективными эффектами при ишемическом инсульте, что подтверждают отрицательные результаты, полученные в ис-

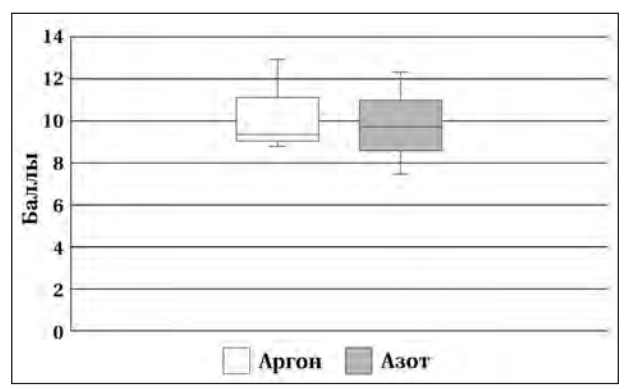


Рис. 3. Объем зоны повреждения головного мозга крыс на 14-е сутки наблюдения по данным MPT.

Примечание. Данные представили в виде медиан и квартилей.

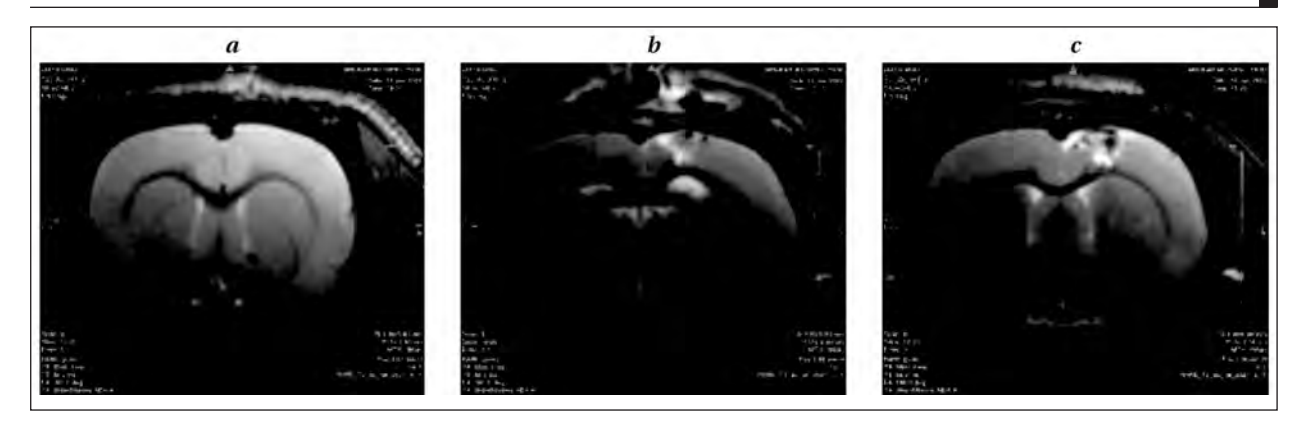


Рис. 4. МРТ-исследование головного мозга крыс. Примечание. a — T2-взвешенное корональное MPT-изображение животного из группы ЛО; b — T2-взвешенное корональное MPT-изображение животного из группы Инсульт; c — T2-взвешенное корональное MPT-изображение животного из группы Инсульт + iAr.

следовании *in vivo* [28]. Во-вторых, практически всегда экспериментальное моделирование инсульта и других повреждений головного мозга проводится на анестезированных животных, поэтому обязательно нужно учитывать эффекты используемого анестетика. По данным литературы, сравнительные исследования севофлурана, изофлурана и аргона на модели ишемического повреждения не проводились. Нужно отметить, что в обеих группах с инсультом у животных были высокие баллы в тесте «Постановка конечности на опору», что может свидетельствовать о проявлении нейропротективного действия севофлурана. Данные экспериментальных и клинических исследований подтверждают выраженные нейропротективные свойства севофлурана [50-52]. В связи с этим, использование в качестве анестетика другого препарата, не обладающего выраженными органопротективными эффектами (например, хлоралгидрат [53]), возможно, позволит выявить нейропротективные эффекты аргона в подобной экспериментальной модели. Другой фактор, который мог влиять на результаты исследования, это время и условия экспозиции. С одной стороны, экспозиция в течение 24 ч должна была быть достаточной для получения положительного результата. Однако, в ряде исследований [54, 55] было выдвинуто предпо-

Литература

- Jurcau A., Simion A. Neuroinflammation in cerebral ischemia and ischemia/reperfusion injuries: from pathophysiology to therapeutic strategies. Int J Mol Sci. 2021; 23 (1): 14. DOI: 10.3390/ijms23010014. PMID: 35008440.
- Черпаков Р.А., Гребенчиков О.А. Влияние концентрации хлорида лития на его нейропротекторные свойства при ишемическом инсульте у крыс. Общая реаниматология. 2021; 17 (5): 101–110. [Cherpakov R.A., Grebenchikov О.А. Effect of lithium chloride concentration on its neuroprotective properties in ischemic stroke in rats. General Reanimatology /Obshchaya Reanimatologiya. 2021; 17 (5): 101–110. (In Russ.)]. DOI: 10.15360/1813-9779-2021-5-101-110
- Paul S., Candelario-Jalil E. Emerging neuroprotective strategies for the treatment of ischemic stroke; an overview of clinical and

ложение, что аргон из-за его удельной теплоемкости, вдвое меньшей, чем у воздуха вызывает умеренную гипертермию — состояние, которое усугубляет ишемическое повреждение головного мозга. В выполненном исследовании температуру животных в постоперационным периоде, а также объем потребляемой животным жидкости не оценивали. В связи с этим длительный период ингаляции аргона в закрытой камере мог влиять на полученные результаты. Однако, учитывая отсутствие статистически значимых различий между группами, можно предположить, что длительная ингаляция аргона не оказывала повреждающего эффекта.

Учитывая полученные данные, а также проведенный анализ литературы, можно сделать вывод, что для оценки нейропротективного эффекта аргона требуются дальнейшие исследования с измененным дизайном, учитывающим обозначенные выше ограничения данного исследования.

Заключение

24-часовая ингаляция аргон-кислородной смеси (Ar $70\%/O_2$ 30%) после фотохимически индуцированного инсульта не уменьшает объем повреждения головного мозга и не снижает выраженность неврологического дефицита.

- preclinical studies. Exp Neurol. 2021; 335: 113518. doi: 10.1016/j.expneurol.2020.113518. PMID: 33144066
- Rabinstein A.A. Update on treatment of acute ischemic stroke. Continuum (Minneap Minn). 2020; 26 (2): 268–286. DOI: 10.1212/CON.0000000000000840. PMID: 32224752.
- Campos-Pires R., Koziakova M., Yonis A., Pau A., Macdonald W., Harris K., Edge C.J. et al. Xenon protects against blast-induced traumatic brain injury in an in vitro model. J Neurotrauma. 2018; 35 (8): 1037–1044. DOI: 10.1089/neu.2017.5360. PMID: 29285980.
- Campos-Pires R., Hirnet T., Valeo F., Ong B.E., Radyushkin K., Aldhoun J., Saville J. et al. Xenon improves long-term cognitive function, reduces neuronal loss and chronic neuroinflammation, and improves survival after traumatic brain injury in mice. Br J Anaesth. 2019; 123 (1): 60–73. DOI: 10.1016/j.bja.2019.02.032. PMID: 31122738
- Filev A.D., Silachev D.N., Ryzhkov I.A., Lapin K.N., Babkina A.S., Grebenchikov O.A., Pisarev V.M. Effect of xenon treatment on gene

- expression in brain tissue after traumatic brain injury in rats. *Brain Sci.* 2021; 11 (7): 889. DOI: 10.3390/brainsci11070889. PMID: 34356124
- Moro F., Fossi F., Magliocca A., Pascente R., Sammali E., Baldini F., Tolomeo D. et al. Efficacy of acute administration of inhaled argon on traumatic brain injury in mice. Br J Anaesth. 2021; 126 (1): 256–264. DOI: 10.1016/j.bja.2020.08.027. PMID: 32977957
- Zhang M., Cui Y., Cheng Y., Wang Q., Sun H. The neuroprotective effect and possible therapeutic application of xenon in neurological diseases. J Neurosci Res. 2021; 99 (12): 3274–3283. DOI: 10.1002/ jnr.24958. PMID: 34716615
- Maze M., Laitio T. Neuroprotective properties of xenon. Mol Neurobiol. 2020; 57 (1): 118–124. DOI: 10.1007/s12035-019-01761-z. PMID: 31758401
- Wang J., Li R., Peng Z., Hu B., Rao X., Li J. HMGB1 participates in LPS-induced acute lung injury by activating the AIM2 inflammasome in macrophages and inducing polarization of M1 macrophages via TLR2, TLR4, and RAGE/NF-kB signaling pathways. Int J Mol Med. 2020; 45 (1): 61–80. DOI: 10.3892/ijmm.2019.4402. PMID: 31746367.
- Zewinger S., Reiser J., Jankowski V., Alansary D., Hahm E., Triem S., Klug M. et al. Apolipoprotein C3 induces inflammation and organ damage by alternative inflammasome activation. Nat Immunol. 2020; 21 (1): 30–41. DOI: 10.1038/s41590-019-0548-1. PMID: 31819254
- Mitsui Y., Hou L., Huang X., Odegard K.C., Pereira L.M., Yuki K. Volatile anesthetic sevoflurane attenuates toll-like receptor 1/2 activation. Anesth Analg. 2020; 131 (2): 631–639. DOI: 10.1213/ANE. 0000000000004741. PMID: 32149756
- Brücken A., Kurnaz P., Bleilevens C., Derwall M., Weis J., Nolte K., Rossaint R. et al. Dose dependent neuroprotection of the noble gas argon after cardiac arrest in rats is not mediated by K (ATP)-channel opening. Resuscitation. 2014; 85 (6): 826–32. DOI: 10.1016/j.resuscitation.2014.02.014. PMID: 24582739.
- Lemoine S., Blanchart K., Souplis M., Lemaitre A., Legallois D., Coulbault L., Simard C. et al. Argon exposure induces postconditioning in myocardial ischemia-reperfusion. J Cardiovasc Pharmacol Ther. 2017; 22 (6): 564–573. DOI: 10.1177/1074248417702891. PMID: 28381122.
- Mayer B., Soppert J., Kraemer S., Schemmel S., Beckers C., Bleilevens C., Rossaint R. et al. Argon induces protective effects in cardiomyocytes during the second window of preconditioning. Int J Mol Sci. 2016; 17 (7): 1159. DOI: 10.3390/ijms17071159. PMID: 27447611.
- Ulbrich F., Kaufmann K., Roesslein M., Wellner F., Auwärter V., Kempf J., Loop T. et al. Argon mediates anti-apoptotic signaling and neuroprotection via inhibition of toll-Like receptor 2 and 4. PLoS One. 2015; 10 (12): e0143887. DOI: 10.1371/journal.pone. 0143887. PMID: 26624894.
- Ulbrich F., Lerach T., Biermann J., Kaufmann K.B., Lagreze W.A., Buerkle H., Loop T. et al. Argon mediates protection by interleukin-8 suppression via a TLR2/TLR4/STAT3/NF-kB pathway in a model of apoptosis in neuroblastoma cells in vitro and following ischemia-reperfusion injury in rat retina in vivo. J Neurochem. 2016; 138 (6): 859-73. DOI: 10.1111/jnc.13662. PMID: 27167824
- Spaggiari S., Kepp O., Rello-Varona S., Chaba K., Adjemian S., Pype J., Galluzzi L. et al. Antiapoptotic activity of argon and xenon. Cell Cycle. 2013; 12 (16): 2636–42. DOI: 10.4161/cc.25650. PMID: 23907115
- Fahlenkamp A.V., Rossaint R., Coburn M. Neuroprotektion durch edelgase: neue entwicklungen und erkenntnisse. [Neuroprotection by noble gases: new developments and insights]. Anaesthesist. 2015; 64 (11): 855-858. (in German). DOI: 10.1007/s00101-015-0079-6. PMID: 26329914
- Fahlenkamp A.V., Rossaint R., Haase H., Al Kassam H., Ryang Y.M., Beyer C., Coburn M. The noble gas argon modifies extracellular signal-regulated kinase 1/2 signaling in neurons and glial cells. Eur J Pharmacol. 2012; 674 (2-3): 104–111. DOI: 10.1016/j.ejphar.2011. 10.045. PMID: 22094065.
- Zhao H., Mitchell S., Ciechanowicz S., Savage S., Wang T., Ji X., Ma D. Argon protects against hypoxic-ischemic brain injury in neonatal rats through activation of nuclear factor (erythroid-derived 2)-like 2. Oncotarget. 2016; 7 (18): 25640–51. DOI: 10.18632/oncotarget.8241. PMID: 27016422
- Zhao H., Mitchell S., Koumpa S., Cui Y.T., Lian Q., Hagberg H., Johnson M.R. et al. Heme oxygenase-1 mediates neuroprotection conferred by argon in combination with hypothermia in neonatal hypoxia-ischemia brain injury. Anesthesiology. 2016; 125 (1): 180–92. DOI: 10.1097/ALN.0000000000001128. PMID: 27065095.
- Harris K., Armstrong S.P., Campos-Pires R., Kiru L., Franks N.P., Dickinson R. Neuroprotection against traumatic brain injury by xenon, but not argon, is mediated by inhibition at the N-methyl-D-aspartate receptor glycine site. Anesthesiology. 2013; 119 (5): 1137–48. DOI: 10.1097/ALN.0b013e3182a2a265. PMID: 23867231
- David H.N., Haelewyn B., Risso J.-J., Abraini J.H. Modulation by the noble gas argon of the catalytic and thrombolytic efficiency of tissue plasminogen activator. Naunyn Schmiedebergs Arch Pharmacol 2013; 386 (1): 91-5. DOI: 10.1007/s00210-012-0809-0. PMID: 23142817

- Höllig A., Weinandy A., Liu J., Clusmann H., Rossaint R., Coburn M.
 Beneficial properties of argon after experimental subarachnoid
 hemorrhage: early treatment reduces mortality and influences hippocampal protein expression. Crit Care Med. 2016; 44 (7): e520-9.
 DOI: 10.1097/CCM.0000000000001561. PMID: 26751611
- Zhuang L., Yang T., Zhao H., Fidalgo A.R., Vizcaychipi M.P., Sanders R.D., Yu B. et al. The protective profile of argon, helium, and xenon in a model of neonatal asphyxia in rats. Crit Care Med. 2012; 40 (6): 1724–1730. DOI: 10.1097/CCM.0b013e3182452164. PMID: 22610177
- Fahlenkamp A.V., Coburn M., de Prada A., Gereitzig N., Beyer C., Haase H., Rossaint R. et al. Expression analysis following argon treatment in an in vivo model of transient middle cerebral artery occlusion in rats. Med Gas Res. 2014; 4: 11. DOI: 10.1186/2045-9912-4-11. PMID: 25671080
- Ulbrich F., Schallner N., Coburn M., Loop T., Lagrèze W.A., Biermann J., Goebel U. Argon inhalation attenuates retinal apoptosis after ischemia/reperfusion injury in a time- and dose-dependent manner in rats. PLoS One. 2014; 9 (12): e115984. DOI: 10.1371/journal.pone. 0115984. PMID: 25535961
- Ulbrich F., Kaufmann K.B., Coburn M., Lagrèze W.A., Roesslein M., Biermann J., Buerkle H. et al. Neuroprotective effects of argon are mediated via an ERK-1/2 dependent regulation of heme-oxygenase-1 in retinal ganglion cells. J Neurochem. 2015; 134 (4): 717–727. DOI: 10.1111/jnc.13115. Epub 2015. PMID: 25876941
- Abraini J.H., Kriem B., Balon N., Rostain J.-C., Risso J.J. Gammaaminobutyric acid neuropharmacological investigations on narcosis produced by nitrogen, argon, or nitrous oxide. Anesth Analg. 2003; 96 (3):746-749. DOI: 10.1213/01.ANE.0000050282.14291.38. PMID: 12598256
- Faure A., Bruzzese L., Steinberg J.-G., Jammes Y., Torrents J., Berdah S.V., Garnier E. et al. Effectiveness of pure argon for renal transplant preservation in a preclinical pig model of heterotopic autotransplantation. J Transl Med. 2016; 14: 40. DOI: 10.1186/s12967-016-0795-y. PMID: 26847569
- Liu J., Nolte K., Brook G., Liebenstund L., Weinandy A., Höllig A., Veldeman M. et al. Post-stroke treatment with argon attenuated brain injury, reduced brain inflammation and enhanced M2 microglia/macrophage polarization: a randomized controlled animal study. Crit Care. 2019; 23 (1): 198. DOI: 10.1186/s13054-019-2493-7. PMID: 31159847
- 34. De Roux Q., Lidouren F., Kudela A., Slassi L., Kohlhauer M., Boissady E., Chalopin M. et al. Argon attenuates multiorgan failure in relation with HMGB1 inhibition. Int J Mol Sci. 2021; 22 (6): 3257. DOI: 10.3390/ijms22063257. PMID: 33806919
- Qi H., Sofo-Gonzalez L., Krychtiuk K.A., Ruhittel S., Kaun C., Speidl W.S., Kiss A. et al. Pretreatment with argon protects human cardiac myocyte-like progenitor cells from oxygen glucose deprivation-induced cell death by activation of AKT and differential regulation of mapkinases. Shock. 2018; 49 (5): 556–563. DOI: 10.1097/SHK.00000 00000000998. PMID: 29658909
- Grüßer L., Blaumeiser-Debarry R., Krings M., Kremer B., Höllig A., Rossaint R., Coburn M. Argon attenuates the emergence of secondary injury after traumatic brain injury within a 2-hour incubation period compared to desflurane: an in vitro study. Med Gas Res. 2017; 7 (2): 93–100. DOI: 10.4103/2045-9912.208512. PMID: 28744361
- Creed J., Cantillana-Riquelme V., Yan B.H., Ma S., Chu D., Wang H., Turner D.A. et al. Argon inhalation for 24 h after closed-head injury does not improve recovery, neuroinflammation, or neurologic outcome in mice. Neurocrit Care. 2021; 34 (3): 833–843. DOI: 10.1007/s12028-020-01104-0. PMID: 32959200
- David H.N., Dhilly M., Degoulet M., Poisnel G., Meckler C., Vallée N., Blatteau J.É. et al. Argon blocks the expression of locomotor sensitization to amphetamine through antagonism at the vesicular monoamine transporter-2 and mu-opioid receptor in the nucleus accumbens. Transl Psychiatry. 2015; 5 (7): e594. DOI: 10.1038/tp. 2015.27. PMID: 26151922
- Zhuang L., Yang T., Zhao H., Fidalgo A.R., Vizcaychipi M.P., Sanders R.D., Yu B. et al. The protective profile of argon, helium, and xenon in a model of neonatal asphyxia in rats. Crit Care Med. 2012; 40 (6): 1724–1730. DOI: 10.1097/CCM.0b013e3182452164. PMID: 22610177
- Koziakova M., Harris K., Edge C.J., Franks N.P., White I.L., Dickinson R. Noble gas neuroprotection: xenon and argon protect against hypoxic-ischaemic injury in rat hippocampus in vitro via distinct mechanisms. Br J Anaesth. 2019; 123 (5): 601–609. DOI: 10.1016/j.bja.2019.07.010. PMID: 31470983
- Shakova F.M.; Kirova Y.I.; Silachev D.N.; Romanova G.A.; Morozov S.G. Protective effects of PGC-1α activators on ischemic stroke in a rat model of photochemically induced thrombosis. Brain Sci. 2021; 11 (3): 325. DOI: 10.3390/brainsci11030325. PMID: 33806692
- De Ryck M., Van Reempts J., Borgers M., Wauquier A., Janssen P.A.
 Photochemical stroke model: flunarizine prevents sensorimotor
 deficits after neocortical infarcts in rats. Stroke. 1989; 20 (10):
 1383–1390. DOI: 10.1161/01.str.20.10.1383. PMID: 2799870
- 43. *Jolkkonen J., Puurunen K., Rantakömi S., Härkönen A., Haapalinna A., Sivenius J.* Behavioral effects of the alpha (2)-adrenoceptor an-

- tagonist, atipamezole, after focal cerebral ischemia in rats. *Eur J Pharmacol.* 2000; 400 (2–3): 211–219. DOI: 10.1016/s0014-2999 (00)00409-x. PMID: 10988336
- Silachev D.N., Uchevatkin A.A., Pirogov Yu.A., Zorov D.B., Isaev N.K.
 Comparative evaluation of two methods for studies of experimental
 focal ischemia: magnetic resonance tomography and triphenyltetrazoleum detection of brain injuries. Bull Exp Biol Med. 2009; 147
 (2): 269–272. DOI: 10.1007/s10517-009-0489-z. PMID: 19513437
- Isaev N.K., Novikova S.V., Stelmashook E.V., Barskov I.V., Silachev D.N., Khaspekov L.G., Skulachev V.P. et al. Mitochondria-targeted plastoquinone antioxidant SkQR1 decreases trauma-induced neurological deficit in rat. Biochemistry (Mosc). 2012; 77 (9): 996–999. DOI: 10.1134/S0006297912090052. PMID: 23157258
- Голубев А. М. Модели ишемического инсульта (обзор). Общая реаниматология. 2020; 16 (1): 59–72. [Golubev A.M. Models of ischemic stroke (Review). General Reanimatology/ Obshchaya Reanimatologya. 2020; 16 (1): 59–72. (in Russ.)]. DOI: 10.15360/1813-9779-2020-1-59-72
- Ma S., Chu D., Li L., Creed J.A., Ryang Y.-M., Sheng H., Yang W. et al.
 Argon inhalation for 24 hours after onset of permanent focal
 cerebral ischemia in rats provides neuroprotection and improves
 neurologic outcome. Crit Care Med. 2019; 47 (8): e693–e699. DOI:
 10.1097/CCM.0000000000003809. PMID: 31094741
- Zhang L., Chopp M., Zhang Y., Xiong Y., Li C., Sadry N., Rhaleb I. et al. Diabetes mellitus impairs cognitive function in middle-aged rats and neurological recovery in middle-aged rats after stroke. Stroke. 2016; 47 (8): 2112–2118. DOI: 10.1161/STROKEAHA.115. 012578. PMID: 27387991
- Shin S.S., Hwang M., Diaz-Arrastia R., Kilbaugh T.J. Inhalational gases for neuroprotection in traumatic brain injury. J Neurotrauma. 2021; 38 (19): 2634–2651. DOI: 10.1089/neu.2021.0053. PMID: 33940933
- 50. Заржецкий Ю.В., Борисов К.Ю., Гребенчиков О.А., Шайбакова В.Л., Левиков Д.И., Лихванцев В.В. Влияние севофлурана на функциональное восстановление животных, перенесших системную остановку кровообращения. Общая реаниматология.

- 2012; 8 (2): 15. [Zarzhetsky Yu.V., Borisov K.Yu., Grebenchikov O.A., Shaibakova V.L., Levikov D.I., Likhvantsev V.V. Effect of sevoflurane on functional recovery in animals sustaining systemic circulatory arrest. General Reanimatology/ Obshchaya Reanimatologya. 2012; 8 (2): 15. (In Russ.)]. DOI: 10.15360/1813-9779-2012-2-15
- 51. Гребенчиков О.А., Аврущенко М.Ш., Борисов К.Ю., Ильин Ю.В., Лихванцев В.В. Нейропротекторные эффекты севофлурана на модели тотальной ишемии-реперфузии. Клиническая Патобризиология. 2014; 2; 57–65. [Grebenshchikov О.А., Avrushchenko M.Sh., Borisov K.Yu., Ilyin Yu.V., Likhvantsev V.V. Neuroprotective effects of sevoflurane on the model of total ischemia-reperfusion. Clinical Pathophysiology/ Klinicheskaya Patofysiologiya. 2014; 2; 57–65. (in Russ.)]. eLIBRARY ID: 26292775
- Likhvantsev V.V., Landoni G., Levikov D.I., Grebenchikov O.A., Skripkin Y.V., Cherpakov R. A. Sevoflurane versus total intravenous anesthesia for isolated coronary artery bypass surgery with cardiopulmonary bypass: a randomized trial. J Cardiothorac Vasc Anesth. 2016; 30 (5): 1221–1227. DOI: 10.1053/j.jvca.2016.02.030. PMID: 27431595
- Silachev D.N., Usatikova E.A., Pevzner I.B., Zorova L.D., Babenko V.A., Gulyaev M.V., Pirogov Y.A. et al. Effect of anesthetics on efficiency of remote ischemic preconditioning. Biochemistry (Mosc). 2017; 82 (9): 1006–1016. DOI: 10.1134/S0006297917090036. PMID: 28988529.
- 54. Боева Е.А., Гребенчиков О.А. Органопротективные свойств аргона (обзор). Общая реаниматология. 2022; 18 (5): 44–59. [Boeva E.A., Grebenchikov O.A. Organoprotective Properties of Argon (Review). General Reanimatology/ Obshchaya Reanimatologya. 2022; 18 (5): 44–59. (in Russ.)]. DOI: 10.15360/1813-9779-2022-5-44-59.
- David H.N., Haelewyn B., Degoulet M., Colomb D.G. Jr, Risso J.J., Abraini J.H. Ex vivo and in vivo neuroprotection induced by argon when given after an excitotoxic or ischemic insult. PLoS One. 2012; 7 (2): e30934. DOI: 10.1371/journal.pone.0030934. PMID: 22383981

Поступила 25.01.2023 Принята в печать 01.06.2023